



انجمن برشکاری آذربایجانی غیرمحلی اپان

سیزدهمین کنفرانس ملی آزمایش‌های غیرمحلی

چوتولار

۱۳۹۱ - دانشگاه شهید باهنر کرمان

بررسی تغییرات ریزساختاری در نتیجه آنیل نمونه‌های فولادی کم کربن کار سرد
شده به روش غیر مخرب جریان گردابی

مصطفی سیف پور^۱, مهرداد کاشفی تربیتی^۲, محمد مازینانی^۳

^۱دانشجوی کارشناسی ارشد مهندسی مواد دانشگاه فردوسی مشهد

^۲دانشیار گروه مواد و متالورژی دانشگاه فردوسی مشهد

^۳استادیار گروه مواد و متالورژی دانشگاه فردوسی مشهد

چکیده

در دهه‌ی اخیر علاوه بر شناسایی ترک و عیوب که شناخته‌ترین کاربرد آزمون غیر مخرب جریان گردابی می‌باشد، مطالعات زیادی در زمینه‌ی شناسایی و بررسی ریزساختاری مواد با استفاده از این روش انجام گرفته است. در این پژوهش، تأثیر فرایند آنیل نمونه‌های کار سرد شده بر روی خروجی‌های آزمون جریان گردابی مورد بررسی قرار گرفته است. بدین منظور، ورق فولادی کم کربن نورد شده در دمای ۵۷۵°C مدت زمان‌های مختلف آنیل شد. سپس آزمون جریان گردابی، سختی سنجی و ارزیابی‌های میکروسکوپی بر روی نمونه‌ها انجام شد. آنیل نمونه‌های نورد سرد شده موجب تغییر در چگالی نابجایی‌ها و شکل دانه‌ها می‌شود؛ بنابراین انتظار می‌رود که پارامترهای خروجی آزمون جریان گردابی در نتیجه‌ی این فرایند تحت تأثیر قرار بگیرند. نتایج حاصل نشان دهنده‌ی دقت خوب و قابل قبول روش جریان گردابی در مقایسه با دو روش سختی سنجی و ارزیابی‌های میکروسکوپی در مرحله‌ی تبلور مجدد است. با این حال، در مرحله‌ی بازیابی تنها خروجی‌های آزمون جریان گردابی حساسیت خوبی نشان می‌دهند. بنابراین با استفاده از این روش می‌توان با صرف هزینه و زمان کمتر به بررسی دقیق‌تر ریزساختار نمونه‌ها حین تحولاتی که در فرایند آنیل نمونه‌های کار سرد شده اتفاق می‌افتد پرداخت.

کلمات کلیدی: آزمون جریان گردابی، فولاد کم کربن، کار سرد، آنیل

¹Mostafa.seyfpour@yahoo.com

²M-kashefi@um.ac.ir

³mazinani@um.ac.ir



دانشگاه فنی پارک علم

بنام خداوند جان و خود



آنجمن جوشکاری آذربایجان غربی پارک علم

جناب آقای مهندس مصطفی سیف پور

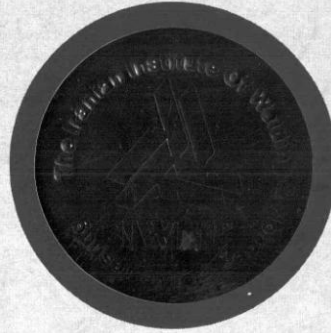
نویسنده محترم مقاله بپرسی تغییرات ریزاختری در نتیجه‌ی آنل نمونه‌های فولادی کم کردن کار سرد شده به روش غیر مخرب جریان گودایی کد مقاله: ۹۱/۱۱۰

ارائه مقاله ارزش‌بازی این کمترانس نمودی از حرکت راستین شاپرای توسعه پایدار کشورمان است چنین کوششی را ارج می‌نمایم
و از آن تقدیر می‌نمایم.

عبدالوهاب ادب آوازه

رمیس سینه کمترانس ملی جوش و بازرگانی

و دوین کمترانس ملی آذربایجان غربی



بررسی تغییرات ریزساختاری در نتیجه‌ی آنیل نمونه‌های فولادی کم کربن کار سرد شده به روش غیر مخرب جریان گردابی

مصطفی سیف پور¹، مهرداد کاشفی تربتی²، محمد مزینانی³

¹ دانشجوی کارشناسی ارشد مهندسی مواد دانشگاه فردوسی مشهد

² دانشیار گروه مواد و متالورژی دانشگاه فردوسی مشهد

³ استادیار گروه مواد و متالورژی دانشگاه فردوسی مشهد

چکیده

در دهه‌ی اخیر علاوه بر شناسایی ترک و عیوب که شناخته‌ترین کاربرد آزمون غیر مخرب جریان گردابی می‌باشد، مطالعات زیادی در زمینه‌ی شناسایی و بررسی ریزساختاری مواد با استفاده از این روش انجام گرفته است. در این پژوهش، تأثیر فرایند آنیل نمونه‌های کار سرد شده بر روی خروجی‌های آزمون جریان گردابی مورد بررسی قرار گرفته است. بدین منظور، ورق فولادی کم کربن نورد سرد شده در دمای 575°C به مدت زمان‌های مختلف آنیل شد. سپس آزمون جریان گردابی، سختی سنجی و ارزیابی‌های میکروسکوپی بر روی نمونه‌ها انجام شد. آنیل نمونه‌های نورد سرد شده موجب تغییر در چگالی ناجایی‌ها و شکل دانه‌ها می‌شود؛ بنابراین انتظار می‌رود که پارامترهای خروجی آزمون جریان گردابی در نتیجه‌ی این فرایند تحت تأثیر قرار بگیرند. نتایج حاصل نشان دهنده‌ی دقت خوب و قابل قبول روش جریان گردابی در مقایسه با دو روش سختی سنجی و ارزیابی‌های میکروسکوپی در مرحله‌ی تبلور مجدد است. با این حال، در مرحله‌ی بازیابی تنها خروجی‌های آزمون جریان گردابی حساسیت خوبی نشان می‌دهند. بنابراین با استفاده از این روش می‌توان با صرف هزینه و زمان کمتر به بررسی دقیق‌تر ریزساختار نمونه‌ها حین تحولاتی که در فرایند آنیل نمونه‌های کار سرد شده اتفاق می‌افتد پرداخت.

کلمات کلیدی: آزمون جریان گردابی، فولاد کم کربن، کار سرد، آنیل

¹ Mostafa.seyfpour@yahoo.com

² M-kashefi@um.ac.ir

³ mazinani@um.ac.ir

در سال‌های اخیر به تعیین خواص متالورژیکی مواد و بدست آوردن نتایج آزمون‌های مخرب با روش غیرمخرب جریان گردابی¹ توجه بسیاری شده است. به کمک این آزمون می‌توان تمام قطعات را در خط تولید، به طور صدرصد و با کمترین هزینه، در کمترین زمان ممکن مورد بررسی قرار داد. حساسیت این آزمون به ترکیب شیمیایی، خواص مکانیکی و ریزساختار[1]، از جمله اندازه دانه را می‌توان جزء مهم‌ترین عواملی دانست که باعث توجه بسیار به این روش شده است.

بازیابی² و تبلور مجدد³ پدیده‌هایی هستند که در حین آنلیل فلزات تغییر شکل پلاستیک یافته به وقوع می‌پیوندند. بازیابی شامل ازین رفتن نابجایی‌ها و آرایش مجدد آنها به سمت ساختاری با انرژی کمتر می‌باشد حال آنکه تبلور مجدد شامل تشکیل دانه‌های جدید عاری از کرنش در بخش‌های معینی از ماده می‌باشد که رشد متعاقب این دانه‌ها منجر به مصرف شدن ریزساختار تغییر شکل یافته یا بازیابی شده می‌شود.[3]

نحوه‌ی عملکرد آزمون غیرمخرب جریان گردابی بدین صورت است که با عبور جریان متناوب از یک کویل، میدان مغناطیسی اطراف کویل بوجود می‌آید، هنگامی که کویل حامل جریان نزدیک نمونه‌ی فلزی می‌شود، میدان مغناطیسی اطراف کویل یک سری جریان‌های گردابی در نمونه ایجاد می‌کند که ولتاژ اولیه و ثانویه کویل را تغییر می‌دهد.[4] میزان این تغییرات وابسته به ریزساختار، ترکیب شیمیایی، تنش‌های داخلی، عیوب و همچنین فرکانس مورد آزمایش و فاصله‌ی بین کویل و نمونه می‌باشد.[5]

تحقیقاتی به منظور تعیین برخی از خواص متالورژیکی مواد با استفاده از این آزمون انجام شده است. [6]S.H.Khan و [7]k.Liu در پژوهش‌های جداگانه ارتباط خوبی بین درصد فاز مارتزیت تشکیل شده در نتیجه‌ی نورد سرد فولادهای زنگ‌زن AISI 304، AISI 321 و AISI 316L و خروجی‌های جریان گردابی بدست آورده‌ند. تعیین عمق دی کربوراسیون بوسیله‌ی آنالیز هارمونیک توسط [8]M.Mercier و [9]S.Kahrobae گزارش شده است، در پژوهشی مرتبط با این موضوع، عمق دی[9]S.Kahrobae - کربوره در فولاد CK45 را مورد بررسی قرار داد. پاسخ جریان گردابی به تنش اعمالی زیر حد الاستیک نمونه‌های آلミニومی قابل عملیات حرارتی و غیرقابل عملیات حرارتی توسط [10]M.Morozov مورد بررسی قرار گرفت. [11]S.H.Khan و [12]S.Kahrobae از این روش در تعیین درصد پرلیت در فولادهای ساده کربنی استفاده نمودند. تأثیر اندازه‌ی دانه[13-15] و چگالی نابجایی‌ها[16-18] بر خواص مغناطیسی مواد توسط محققان زیادی مورد بررسی قرار گرفته است.

نمونه‌های آنیل شده در دمای 575°C و همچنین سختی نمونه کار سرد شده را نشان می‌دهد. کاهش سختی پیوسته‌ای با افزایش زمان آنیل مشاهده می‌شود، افت شدید سختی همزمان با شروع فرایند تبلور مجدد (شکل 2-b) و پایان فرایند نرم شدن فولاد در کسر تبلور مجدد حدود ۰.۹ اتفاق می‌افتد. (شکل 2-f)

نمودار ۳ و ۴ به ترتیب تغییرات ولتاژ ثانویه و امپدانس نرماله شده کویل خواننده را بر حسب زمان آنیل در دمای 575°C نشان می‌دهند، همچنین ولتاژ ثانویه و امپدانس نرماله شده نمونه‌ی نورد سرد شده به ترتیب در نمودار ۳ و ۴ نشان داده است. در حین فرایند بازیابی چگالی نابجایی‌ها کاهش یافته و ساختار منظم‌تری با انرژی کمتری از نابجایی‌ها ایجاد می‌شود.^[3] همزمان با شروع فرایند تبلور مجدد علاوه بر کاهش چگالی نابجایی‌ها که در نتیجه‌ی بازیابی اتفاق می‌افتد، اندازه‌ی متوسط دانه‌ها در نتیجه‌ی جوانه‌زنی دانه‌های جدید تبلور مجدد یافته کاهش می‌یابد. نفوذپذیری مغناطیسی با کاهش چگالی نابجایی‌ها افزایش و با کاهش اندازه‌ی دانه کاهش می‌یابد.^[13-18] با توجه به رابطه‌ی ۲، افزایش یا کاهش نفوذپذیری مغناطیسی (۱) به ترتیب موجب افزایش و کاهش ضریب خود القایی (L^1) می‌شود.

$$L = \mu N^2 A / l \quad (2)$$

۱) نفوذپذیری مغناطیسی، N تعداد دور کویل، A سطح مقطع نمونه و l طول کویل هستند. نتیجتاً با توجه به روابط زیر تغییر نفوذپذیری مغناطیسی (۱) موجب تغییر مقاومت القایی کویل (X_L) و امپدانس کویل (Z) می‌شود.

$$X_L = 2\pi f L \quad (3)$$

$$Z = \sqrt{X_L^2 + R^2} = V/I \quad (4)$$

با توجه به رابطه‌ی ۴ تغییر امپدانس موجب تغییر در ولتاژ ثانویه می‌شود. تا زمان آنیل ۴۵ ثانیه که فقط فرایند بازیابی رخ می‌دهد (شکل 2) کاهش چگالی نابجایی‌ها موجب افزایش ولتاژ ثانویه و امپدانس نرماله شده کویل خواننده می‌شود. با شروع فرایند تبلور مجدد (شکل 2-b) به دلیل کاهش شدید اندازه‌ی دانه ولتاژ ثانویه و امپدانس کویل خواننده کاهش می‌یابند. با پیشرفت فرایند تبلور مجدد دانه‌های متبلور شده‌ی بیشتری جایگزین دانه‌های کشیده می‌شوند بنابراین مقادیر ولتاژ ثانویه و امپدانس کویل خواننده به طور پیوسته کاهش می‌یابند.

نمودار ۵، ارتباط بین درصدهای مختلف تبلور مجدد با ولتاژ ثانویه را نشان می‌دهد. ضریب رگرسیون بدست آمده برای این خروجی ($R^2 = 0.905$) می‌باشد.

نmodar⁶، ارتباط بین درصدهای مختلف تبلور مجدد با امپدانس نرماله شده کویل خواننده را نشان می‌دهد. ضریب رگرسیون بدست آمده برای این خروجی ($R^2=0.971$)، بیانگر ارتباط خوب این پارامتر با درصدهای مختلف تبلور مجدد می‌باشد.

نتیجه گیری

به دلیل حساسیت بالای ولتاژ ثانویه و امپدانس نرماله شده کویل خواننده به چگالی نابجایی‌ها از این روش برای نشان دادن فرایند بازیابی می‌توان استفاده کرد، حال آنکه آزمون سختی و ارزیابی‌های میکروسکوپی قادر به نشان دادن تغییرات ریزساختاری در این فرایند نمی‌باشند.

در حین تبلور مجدد دانه‌های جدید که در ریزساختار شکل می‌گیرند، عامل اصلی کاهش نفوذ پذیری مغناطیسی (μ) می‌باشند. پارامترهای ولتاژ ثانویه و امپدانس نرماله شده کویل خواننده قادر به دنبال کردن پیشرفت فرایند تبلور مجدد می‌باشند، خروجی امپدانس نرماله شده دقیق‌تری دارد می‌باشد.

کاهش ولتاژ ثانویه و امپدانس کویل خواننده در حین تبلور مجدد حاکی از آن است که اثر کاهش اندازه‌ی دانه‌ها بر اثر کاهش چگالی نابجایی‌ها که سعی در افزایش خروجی‌های جریان گردابی دارند، غالب است.

با توجه به تأثیرات متضاد بازیابی و تبلور مجدد بر روی ولتاژ ثانویه و امپدانس نرماله شده کویل خواننده، از این دو پارامتر برای جدا کردن دو فرایند بازیابی و تبلور مجدد و همچنین پیدا کردن شروع تبلور مجدد می‌توان استفاده کرد.

مراجع

- [1] P.J. Shull, "Nondestructive evaluation: theory, techniques and applications", 2002, New York: Marcel Dekker.
- [2] Don E. Bray, Roderic K. Stanly, "Nondestructive Evaluation", 1997, CRC.
- [3] F. J. Humphreys, M. Hatherly, "Recrystallization and Related Annealing Phenomena" 1996, Oxford, Pergamon Press.
- [4] M. Kashefi, S. Kahrobaee, "On The Application of Non-Destructive Eddy Current Method for Quality Control of Heat Treated Parts" 18th Congress IFHTSE, Rio de Janeiro, 2010, pp. 4877-4885.
- [5] C. Hellier, "Handbook of nondestructive evaluation", 2001, McGraw-Hill.
- [6] S. H. Khan, Farhad Ali, A. Nusair Khan, M. A. Iqbal, "Eddy Current Detection of Changes in Stainless Steel after Cold Reduction", Computational Materials Science, 2008, 43, pp. 623-628.
- [7] K. Liu, Z. Zhao, Z. Zhang, "Eddy Current Assessment of the Cold Rolled Deformation Behavior of AISI 321 Stainless Steel", Journal of Materials Engineering and Performance, 2012, Vol. 21, pp. 1772-1776.
- [8] D. Mercier, J. Lesage, X. Decoopman and D. Chicot, "Eddy currents and hardness

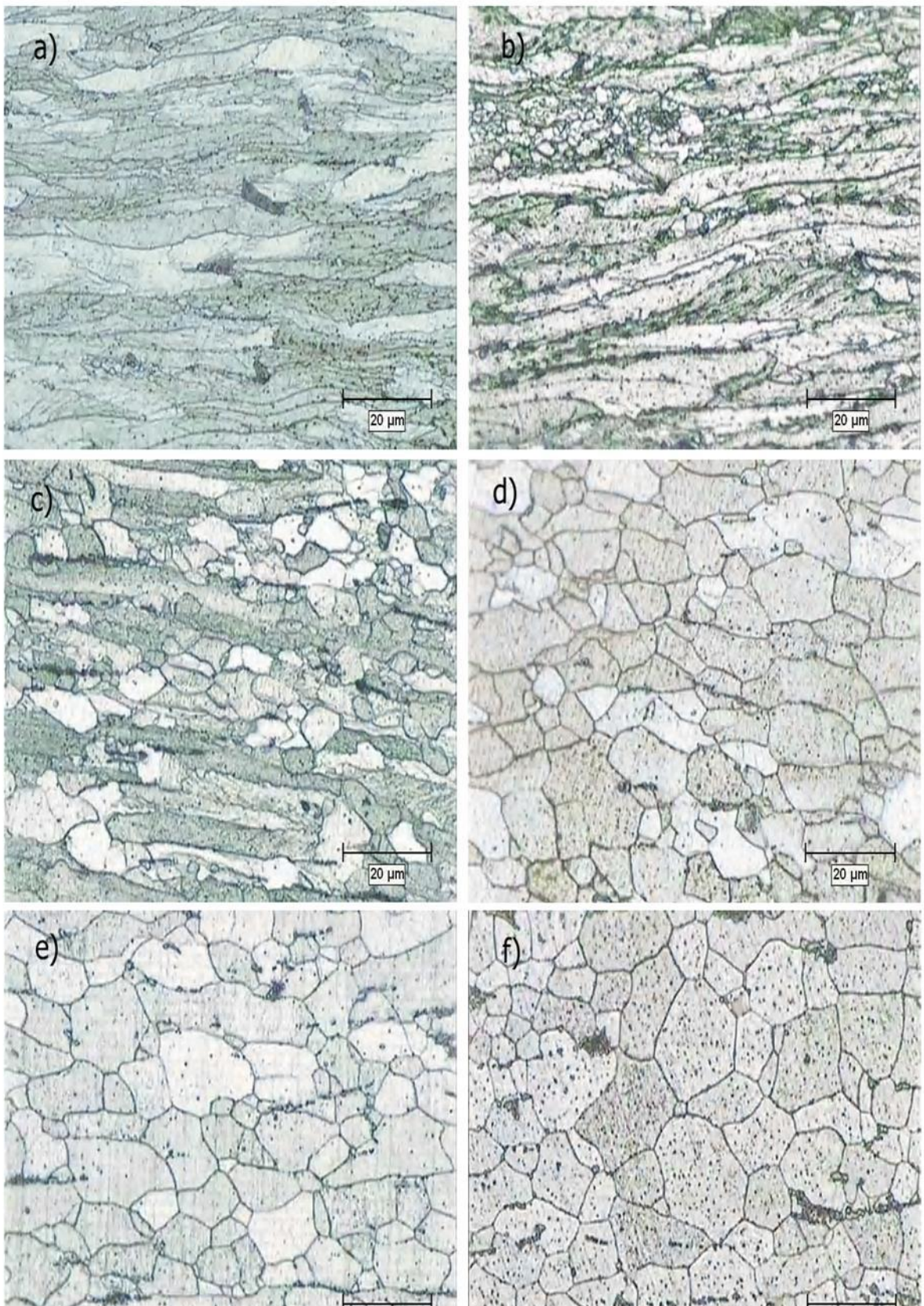
- [9] S. Kahrobaee, M. Kashefi, A. Saheb Alam, "Magnetic NDT Technology for characterization of decarburizing depth," *Surface and Coatings Technology*, 2011, vol. 205, pp. 4083-4088.
- [10] Maxim Morozov, Gui Yun Tian, Philip J. Withers, " The pulsed eddy current response to applied loading of various aluminium alloys", 2010, NDT & E International, vol 43, pp.493-500.
- [11] S. H. Khan, F. Ali, A. Nusair Khan, M.A. Iqbal, "Pearlite determination in plain carbon steel by eddy current method," *Journal of Materials Processing Technology*, 2008, vol. 200, pp. 316-318.
- [12] S. Kahrobaee, M. Kashefi, M.H. Nateq, "Quantitative measuring of pearlite in carbon steels using electromagnetic sensor", *International Journal of Iron and Steel Society of Iran*, 2011, vol 7, pp.29-32.
- [13] J. Degauque, B. Astile, J.L. Porteseil, R. Vergne" Influence of the Grain Size on the Magnetic and Magnetomechanical Properties of High-Purity Iron", *Journal of Magnetism and Magnetic Materials*, 1982, vol 26, p. 261-263.
- [14] J. Anglada-Rivera, L.R. Padovese, J. Capo-Sanchez" Magnetic Barkhausen Noise and Hysteresis Loop in Commercial Carbon Steel: Influence of Applied Stress and Grain Size", *Journal of Magnetism and Magnetic Materials*, 2001, vol 231, pp.299-306.
- [15] B. K. TANNER, J. A. SZPUNAR, S. N. M. WILLCOCK, L. L. Morgan, P. A. MUNDELL;Magnetic and Metallurgical Properties of High-Tensile Steels, *Journal of Materials Science*, , JMMM, v. 123, p. 283, 1988.
- [16] K. Eloot, A. De Paepe, J. Dilewijns, C. Standaert, " Relation between Magnetic Properties and Changes in Dislocation and Cell Structure due to Cold Deformation", *Journal of Magnetism and Magnetic Materials*, 1996, 157/158,pp.459-460.
- [17] M. J. Sablik, " Modeling the Effect of Grain Size and Dislocation Density on Hysteretic Magnetic Properties in Steels", *Journal of Applied Physics*, 2001, vol 89, pp.5610-5613.
- [18] H. Traüble, A. E. Berkowitz, E. Kneller, "The influence of crystal defects on magnetization processes in ferromagnetic single crystals" In *Magnetism and Metallurgy*, 1969, vol 2, pp.621.

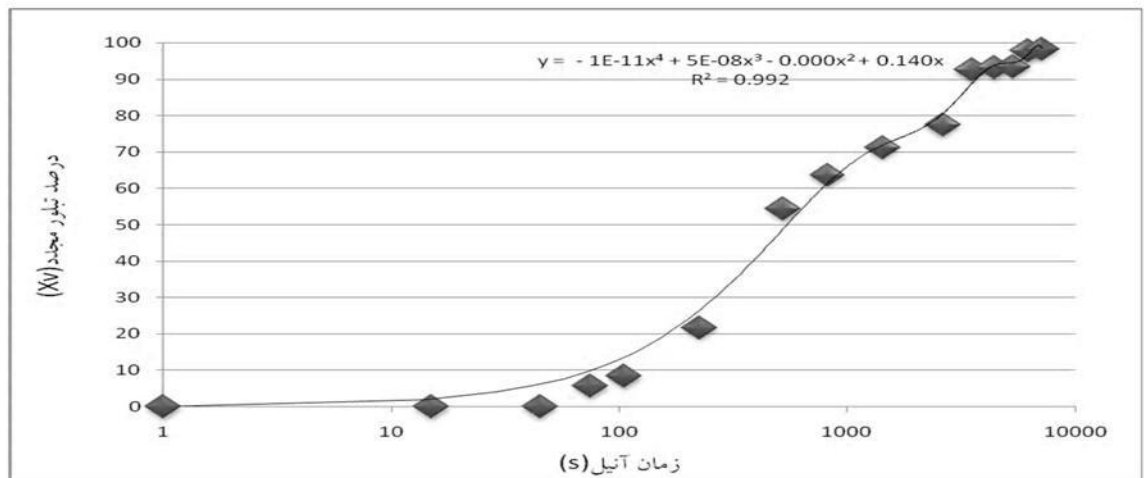
جدول ۱: ترکیب شیمیایی فولاد مورد استفاده در این پژوهش بر حسب درصد وزنی

C	Mn	Si	S	P	Ni	Cr	Cu	Fe
0.056	0.202	0.007	0.001	0.001	0.035	0.01	0.047	Rem.

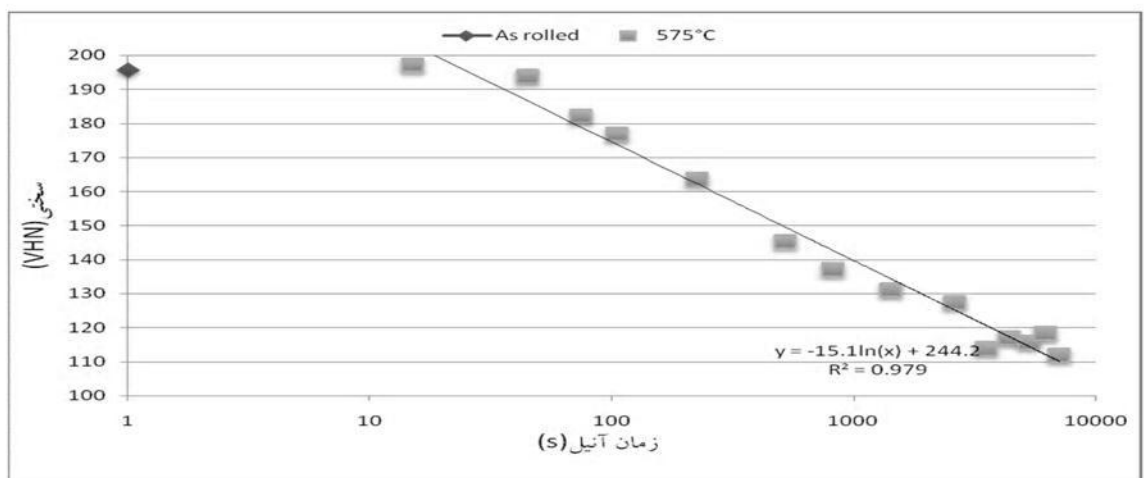


شکل ۱: ریزساختار نمونه‌ی فولادی ۷۵درصد نورد سرد شده.

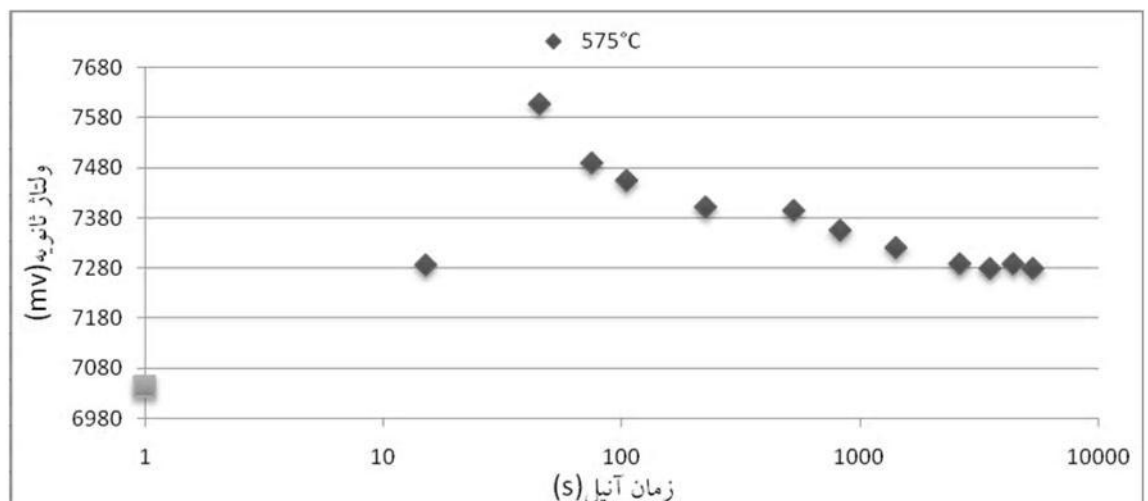


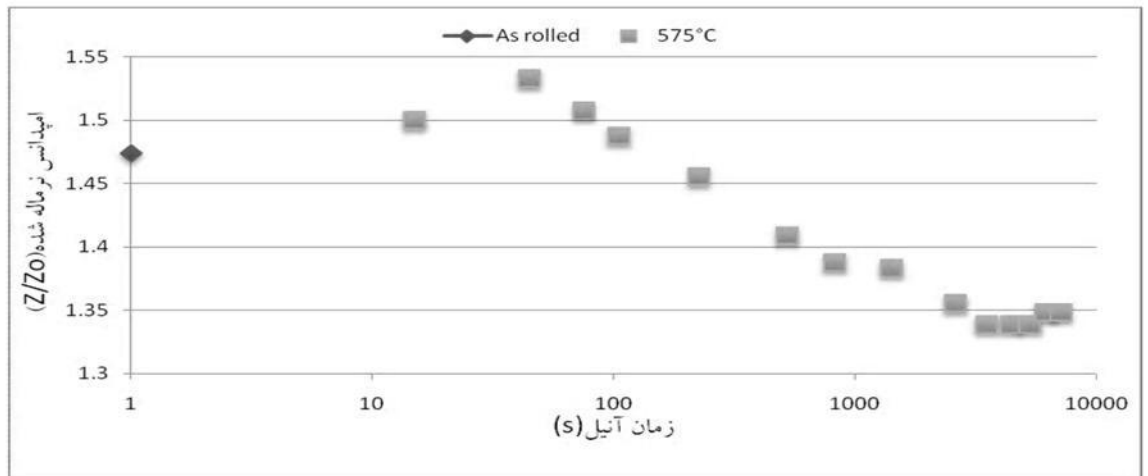


نمودار ۱: درصد تبلور مجدد انجام گرفته در زمان‌های آنیل مختلف در دمای $575^{\circ}C$.

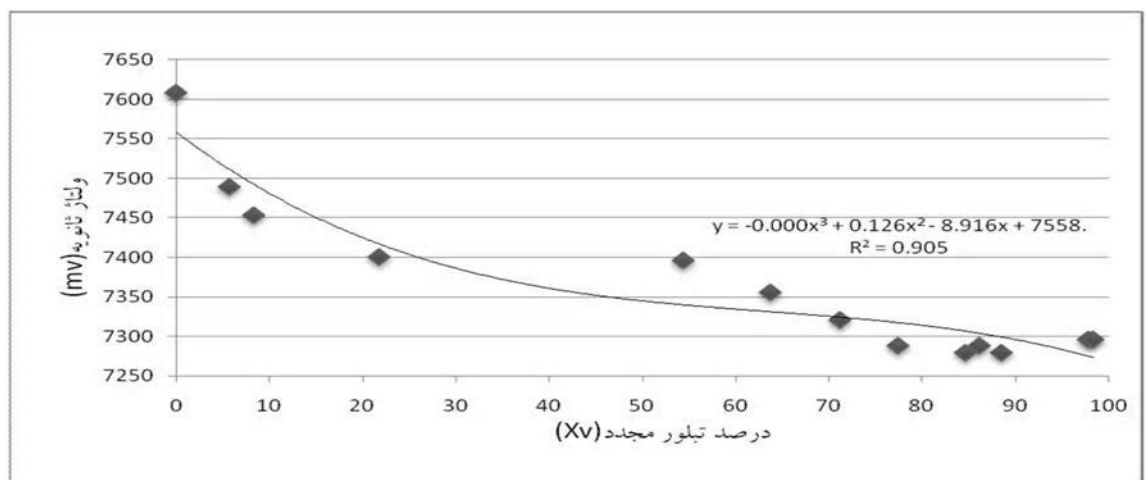


نمودار ۲: سختی نمونه‌های آنیل شده در زمان‌های مختلف در دمای $575^{\circ}C$.

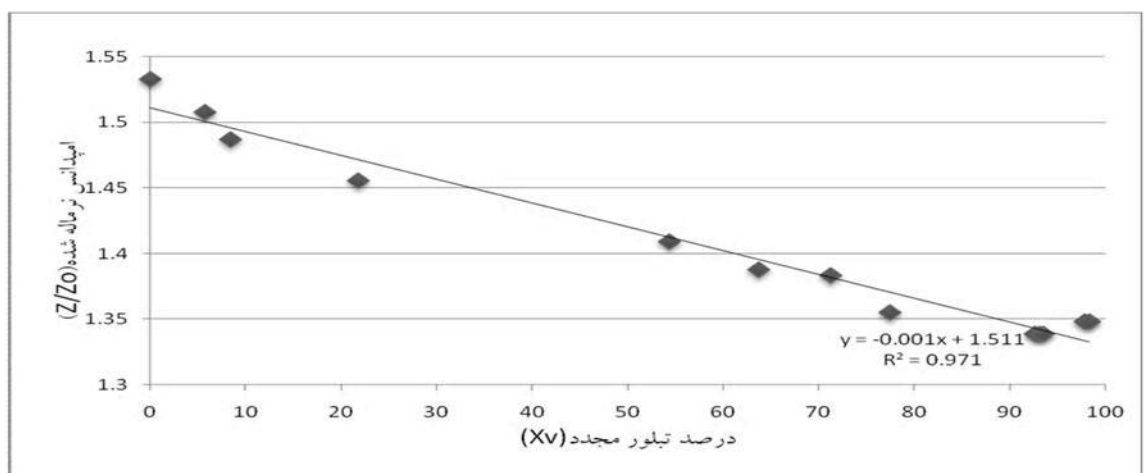




نمودار ۴: تغییرات امپدانس نرماله شده بر حسب زمان آنیل در دمای 575°C .



نمودار ۵: رابطه‌ی درصد تبلور مجدد با ولتاژ ثانویه.



نمودار ۶: رابطه‌ی درصد تبلور مجدد با امپدانس نرماله شده.